

## 飽和砂の変形に関する2, 3の考察

東北大 土木 学生員 ○河 合 秀 次  
東北大 土木 学生員 吉 田 敏 一

### §1. まえがき

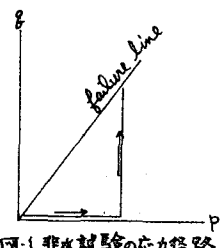
土のような粒状体特有の現象として、せん断に伴う体積変化があるが、この dilatancy の性質を調べるために、特に圧縮側に着目して、平均主応力一定の三軸圧縮試験を行った。また、この際生ずる、せん断歪を双曲線表示で表した。

### §2. 実験装置及び実験方法

(1) 実験装置は通常の三軸試験機で、供試体上下端にはゴム膜(装置に接触する方の面にグリスを塗りてある)を貼り、マツリによる拘束を少なくしてある。

(2) 供試体への応力経路は図-1に示してある。

(3) 砂は名取川砂で、比重 2.66、均等係数 2.00、また初期干湿比(供試体作製時)  $e_0$  は 0.65(最密), 0.75, 0.85, 0.95(最もヨルイ)の 4 段階であるが、本報告には、スペースの関係で、0.65, 0.95の場合のみを記載する。



### §3. 実験結果及び考察

#### §3-1 体積歪特性

体積歪  $\nu$  を応力比  $\sigma/\sigma_u$  で整理すると、図2、図3のようになる。 $\nu$  の正は圧縮側である。

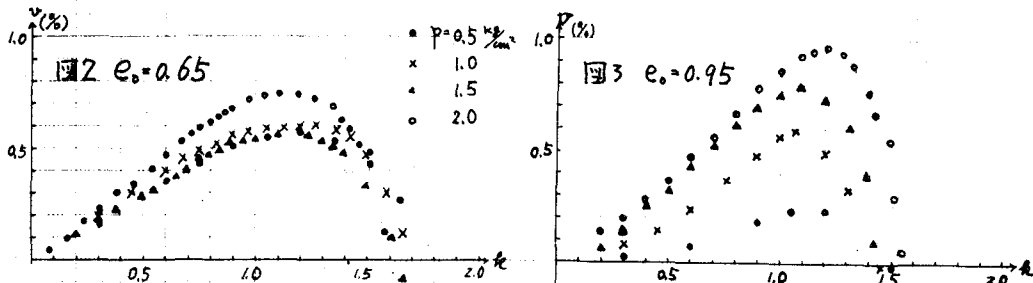


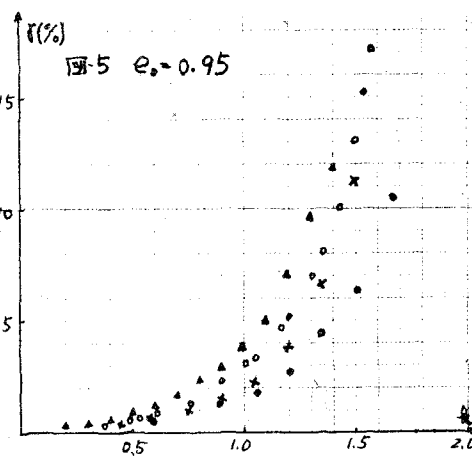
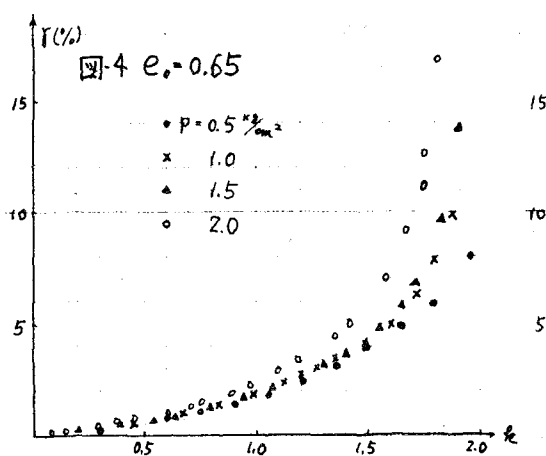
図2から、密な砂では  $d\nu/d(\sigma/\sigma_u)$  は、ほぼ  $P$  には無関係で、 $\nu = f_a(\sigma/\sigma_u)$  と表わせるようである。これは、村山・ハ木<sup>1)</sup>が、膨張側について述べてある事が圧縮側にも当てはまるこことを意味する。

一方、図3から、ユルい砂では、 $\nu = f_p(\sigma/\sigma_u, P)$  となる。これは初期干湿比だけでなく、相対密度、供試体の作り方などにも関係あるようだ<sup>2)</sup>。今後、検討する必要があると思う。

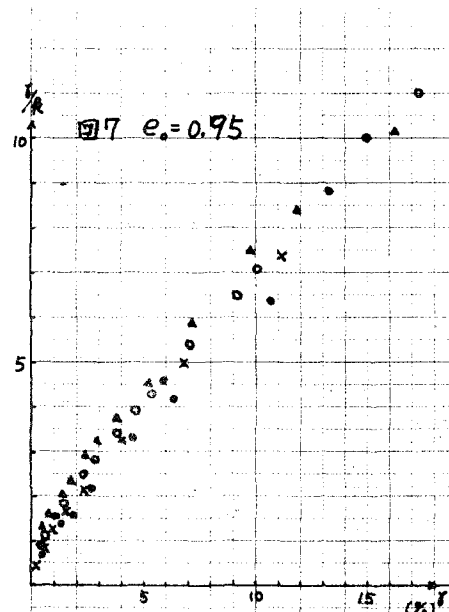
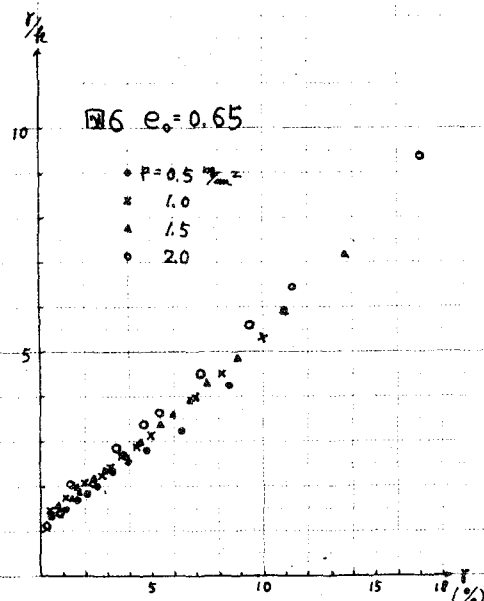
#### §3-2 セン断歪特性

密な砂のセン断歪を図-4、ユルい砂のセン断歪を図5に示した。これらから、密な砂では(特に  $\sigma/\sigma_u = 1.0$  程度では)、 $\nu$  には  $P$  の影響は少く、ほぼ  $\sigma/\sigma_u$  によらず決まると言える。

しかしユルい砂では、体積歪と同様、 $P$  にも関係していくようである。



また、Kondnerの双曲線表示<sup>3)</sup>との一致を見るため、 $\sigma/R$ と $\epsilon$ との関係をプロットし直せり。



これらから、  
 密な場合  $\frac{\sigma}{R} = 1.1 + 0.43\epsilon$   
 エルト場合  $\frac{\sigma}{R} = 0.8 + 0.63\epsilon$

$$\therefore \frac{\sigma}{R} = \frac{\epsilon}{1.1 + 0.43\epsilon}$$

$$\therefore \frac{\sigma}{R} = \frac{\epsilon}{0.8 + 0.63\epsilon}$$

} と整理される。

### notation

$$p = (\sigma_1 + 2\sigma_3)/3$$

$$g = \sigma_1 - \sigma_3$$

$$k = g/p$$

$$v = \epsilon_1 + 2\epsilon_3$$

$$t = \epsilon_1 - \epsilon_3$$

### 参考文献

- 1) 村山川木「砂質土の変形特性について」 土と基礎 1965 vol 13 no. 2
- 2) 諸戸・元谷「砂の不安定性の一評価法」 第9回災害科学統合シンポジウム論文集(1972.仙台)
- 3) Kondner "Hyperbolic Stress-Strain Response: Cohesive Soils"  
Journal of the Soil Mechanics and Foundations Division A.S.C.E.  
vol 89 (1963) p.115-143